



# ANALÝZA SYSTÉMŮ ZALOŽENÁ NA MODELECH 2022/2023

## Domácí úloha 2

Pavel Šesták (xsesta07)

Brno, 13. dubna 2023

# Obsah

<b>1</b>	<b>Úloha 1</b>	<b>4</b>
1.1	Obsahuje tento automat zeno běh?	4
1.2	Obsahuje tento automat timelock?	4
<b>2</b>	<b>Analýza časovaného automatu <math>\mathcal{A}_2</math></b>	<b>4</b>
2.1	Abstrakce založená na regionech	4
2.2	Analýza dostupnosti stavu, ve kterém platí predikát <i>error</i>	4
2.3	Analýza tvrzení $\mathcal{A}_2 \models (\textit{run } U^{(3,4)} \textit{ error})$	5
2.4	Analýza tvrzení $(B, x = 3, y = 0.5) \models \forall(\textit{true } U^{<2} \textit{ init})$	5
2.5	Analýza tvrzení $\mathcal{A}_2 \models \exists \diamond (\textit{error} \wedge x = 2)$	5
<b>3</b>	<b>Automat na vracení lahví modelovaný časovaným automatem</b>	<b>5</b>

## Seznam obrázků

1	Abstrakce založená na regionech	4
2	Časovaný automat modelující proces vracení lahví	5

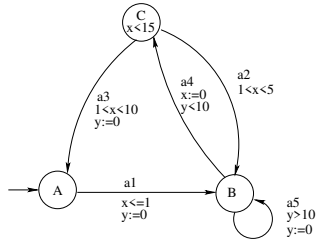
## Seznam tabulek

## MBA 2022/2023 – Úloha 2: Časované automaty

1. Uvažujme automat  $\mathcal{A}_1$  na obrázku 1.

- Obsahuje tento automat zeno běh? Dokažte, nebo vyvráťte.
- Obsahuje tento automat timelock? Pokud ano, uveďte běh vedoucí do timelocku.

2 body



Obrázek 1: Časovaný automat  $\mathcal{A}_1$

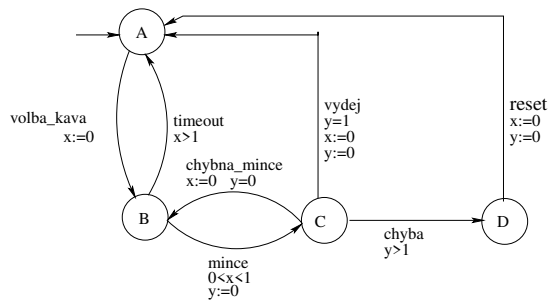
2. Uvažujme časovaný automat  $\mathcal{A}_2$  na obrázku 2 s množinou atomických predikátů  $AP = \{init, error, run\}$  a funkcí  $L$  definovanou následovně:

$$L(A) = \{init, run\}, L(D) = \{error\}, L(B) = L(C) = \{run\}.$$

- Sestavte abstrakci založenou na regionech (stačí sestavit pouze stavy dostupné z počáteční konfigurace).
- Rozhodněte, zda je dostupný stav ve kterém platí predikát *error*.
- Rozhodněte zda platí  $\mathcal{A}_2 \models \exists (run \ U^{(3,4)} error)$ .
- Rozhodněte zda platí  $(B, x = 3, y = 0.5) \models \forall (true \ U^{<2} init)$ .
- Rozhodněte zda platí  $\mathcal{A}_2 \models \exists \diamond (error \wedge x = 2)$

Svá tvrzení zdůvodněte.

4 body



Obrázek 2: Časovaný automat  $\mathcal{A}_2$

3. V nástroji UPPAAL modelujte automat pro vrácení lahví. Automat se nachází v několika stavech: 1. připraven, 2. v činnosti, 3. příjem lahve, 4. timeout, 5. výdej dokladu, 6. chyba, 7. reset.

- Pokud je stroj v činnosti, tak je možné vložit další lahev, nebo požádat o výdej dokladu.
- Po vložení lahve se stroj do 1 časové jednotky vrací do stavu v činnosti.
- Při požadavku na výdej dokladu je stroj do 2 časových jednotek připraven.
- Pokud je stroj v činnosti 100 časových jednotek, tak nastane timeout, po kterém do 2 časových jednotek následuje výdej dokladu.
- V jakoukoliv chvíli může nastat chyba.
- Ze stavu chyba je možné vyvolat reset. Pak do 2 časových jednotek po resetu je stroj připraven.

Váš model bude splňovat následující požadavky vložené ve formě TCTL formulí do části *Verifier* a ověřené nástrojem.

- $A[] \text{ not deadlock}$
- Vždy je možné dostat se do stavu připraven.

Dále v části *Verifier* doplňte a ověřte (eventuelně vyvraťte) alespoň jednu další TCTL formuli.

Poznámka: Uppaal neumožňuje pojmenování akcí. Typ akci "X" modelujte jako přechod do stavu pojmenovaného "X".

4 body

# 1 Úloha 1

## 1.1 Obsahuje tento automat zeno běh?

Pro důkaz neexistence zeno běhu proiterujeme všechny řídicí cykly a v každém najdeme hodiny, které se v daném cyklu resetují a je vyžadován běh času na těchto hodinách pro dokončení cyklu.

- ABCA událost a4 mezi místy B,C resetuje hodiny x a zároveň událost a3 mezi místy C,A vyžaduje tyto hodiny větší jak 1.
- BB událost a5, která je smyčkou nad místem B resetuje hodiny y a zároveň vyžaduje pro provedení y větší jak 10.
- BCB událost a4 mezi místy B,C resetuje hodiny x a zároveň událost a2 mezi místy C,B vyžaduje hodiny X větší jak 1.

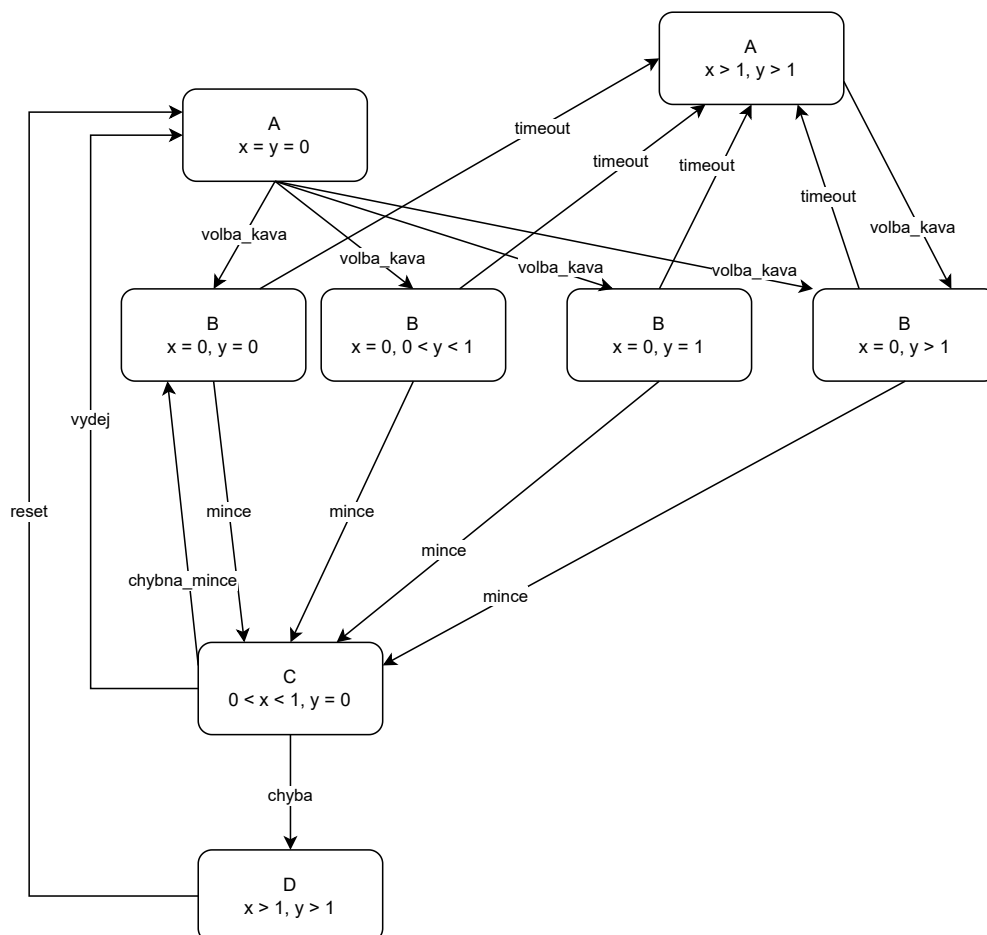
Toto jsou všechny řídicí cykly časovaného automatu  $\mathcal{A}_1$ , takže automat neobsahuje zeno běh.

## 1.2 Obsahuje tento automat timelock?

Ano, zadaný časovaný automat obsahuje timelock. Uvažujme například běh časovaného automatu:  $(A, x=0, y=0) \xrightarrow{0,a1} (B, x=0, y=0) \xrightarrow{0,a4} (C, x=0, y=0) \xrightarrow{2,a3} (A, x=2, y=0)$ . Jelikož je hodnota hodin x větší než jedna, tak se jediný přechod a1 ze stavu A stává neproveditelný.

# 2 Analýza časovaného automatu $\mathcal{A}_2$

## 2.1 Abstrakce založená na regionech



Obrázek 1: Abstrakce založená na regionech

## 2.2 Analýza dostupnosti stavu, ve kterém platí predikát error

Ano, stav s predikátem error je dostupný v zadaném časovaném automatu. Uvažme například následující běh:  $(A, x=0, y=0) \xrightarrow{0,volba\_kava} (B, x=0, y=0) \xrightarrow{0.5,mince} (C, x=0.5, y=0) \xrightarrow{1.5,chyba} (D, x=2, y=1.5)$ . Vidíme, že stav D, kterému je přiřazen predikát error je dostupný.

### 2.3 Analýza tvrzení $\mathcal{A}_2 \models (run\ U^{(3,4)}\ error)$

Ano, existuje běh, kde se mezi třemi až čtyřmi časovými jednotkami dostaneme ze stavu označeného predikátem run do stavu označeného predikátem error. Uvažme například následující běh:  $(A, x=0, y=0) \xrightarrow{0, volba\_kava} (B, x=0, y=0) \xrightarrow{0.5, mince} (C, x=0.5, y=0) \xrightarrow{3, chyba} (D, x=3.5, y=3)$ . Jak je vidět celou dobu jsme ve stavech s predikátem run a následně v čase 3.5 přecházíme do stavu R označeného predikátem error.

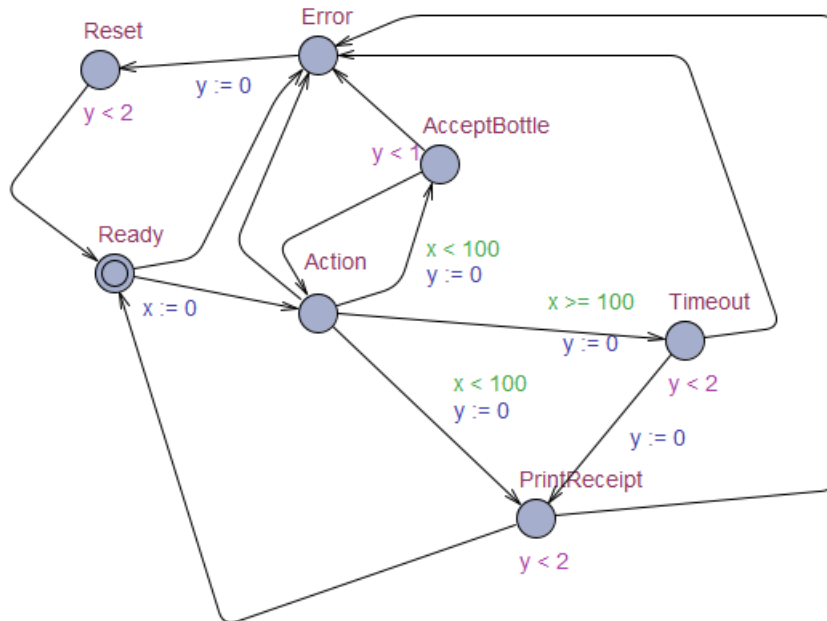
### 2.4 Analýza tvrzení $(B, x = 3, y = 0.5) \models \forall(true\ U^{<2}\ init)$

Dle mého názoru tvrzení neplatí. Tvrzení říká, že do dvou časových jednotek systém vždy přejde do stavu s labelem init. Nicméně, jelikož stav B neobsahuje žádný invariant, který by omezoval hodiny x, tak dle mého můžeme provést následující přechod:  $(B, x=3, y=0.5) \xrightarrow{3, timeout} (A, x=6, y=3.5)$ , což nesplňuje, že do dvou časových jednotek se dostaneme do stavu ohodnoceného labelem init.

### 2.5 Analýza tvrzení $\mathcal{A}_2 \models \exists \diamond (error \wedge x = 2)$

Ano, tvrzení platí. Uvažme například následující běh automatu:  $(A, x=0, y=0) \xrightarrow{0, volba\_kava} (B, x=0, y=0) \xrightarrow{0.5, mince} (C, x=0.5, y=0) \xrightarrow{1.5, chyba} (D, x=2, y=1.5)$ . Vidíme, že jsme se dostali do stavu D, který je označen predikátem error a hodiny x jsou na hodnotě 2.

## 3 Automat na vracení lahví modelovaný časovaným automatem



Obrázek 2: Časovaný automat modelující proces vracení lahví